

分散性圧縮性流体の臨界に近いノズル流れ

阪大 基礎工 森岡茂樹

§1. まえおき

普通の気体力学で知られる臨界に近いノズル流れの簡単な理論より現象が分散性のある圧縮性流体ではどうなるかを考える。

空気のような圧縮性流体だけの中を伝わる音の速さは波数に關係なく一定であると見られる。しかし音速が波数によって違うような圧縮性流体があれば、それは分散性圧縮性流体となる。空気のような例で気液の相流やプラズマ流によく見かける。

今大きな空気泡につながった細長いノズルを考えてみる。¹⁾ 空気泡の圧力を P_0 、ノズル出口の圧力を P_1 とする。 P_0 が P_1 に等ければ流れは生じないが、 P_1 を下げて行くと流れが生じ流速が増し、流量がふえる。このとき流速はスロートで最大となるが、その最大値が音速に達すると流量はそれ以上ふえなくなる。この中で流れの閉塞が起る。出口圧力 P_1 が

以上の減少はスロート下流のノズルの分歧部分に現われる衝撃波の位置より下流の流れだけを変える。そして衝撃波が出口まで来る所、それ以後の衝撃波を伴うジェットパターンの変化だけが起る。

カナラガノズル流れの簡単な解析は一次元流れを仮定しておきる。連続の式 $\rho u A = \text{const.}$, 運動量の式 $\rho u \frac{du}{dx} = -\frac{dp}{dx}$, 状態式 $\rho P^{-\gamma} = \text{const.}$ から P, ρ の導関数を消去すれば

$$(1-M^2) \frac{du}{dx} = -\frac{u}{A} \frac{dA}{dx} \quad (1-1)$$

但し $M^2 = \frac{\rho u^2}{P}$ は局所 Mach 数, A はノズルの断面積である。

$x-u$ 平面上の解曲線は図 1 のようになる。 $(1-M^2) = \frac{dA}{dx} = 0$ は錐形の特異点である。カナラジ特異点を通る解曲線は臨界流量に対応する。臨界値以下の流量における全域にわたる解曲線が二つ存在し、上下の分枝はそれぞれ超音速解と亜音速解を表す。一方臨界値以上の流量における全域にわたる解曲線は存在しない。ノズル

出口の圧力が二つの
臨界曲線の終端圧力
の間にあるととき、ス
ロートの下流に衝撃
波を伴う流れが生じ

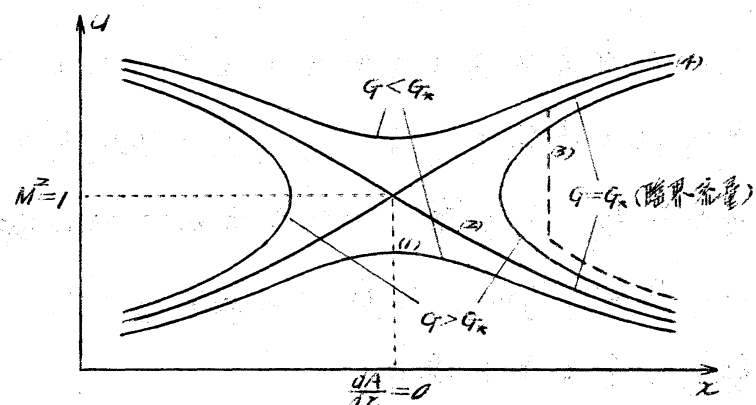


図 1

流れの開塞付スロートにおける流速が音速に達したとき下流条件の情報がスロートで遮断され、上流へ伝わらない。たゞ考慮される。情報の伝わる速さが λ の内容(音の波数)によって遅テヨラ在分散性圧縮性流体では流れの開塞の様子も遅テヨラ在であらう。

32ではこのヨラ在臨界附近ノズル流れの問題が普通の圧縮性流体ヨラに坂山にて來太が振返る。しかレガムラをヨラ複雑な分散性圧縮性流体に拡張するニンと考慮して最も簡単なヨラガラハシヲ拾ラ。ヨルカは一次元および三次元(すなは軸形構)流れの線形方程と非線形振動論である。33では最も簡単な分散性圧縮性流体の二つの代表的な例を取り上げ、振動の系統的現象の特徴について述べる。34ではさらに複雑な分散性圧縮性流体の例について注意すべき点を述べる。

完全な問題すなは形のノズルにフロー壁上、入口、出口における適當な条件に関する混合境界値問題であるが、現象の量的と特徴を元より分り乍ら現象を考究、35ではヨラ線形振動の形式解や非線形振動の相似解から臨界附近流れ場の性質を調べ、振動する遷音速ノズル流れに対する適切な問題の考え方を探る。

3.2. 従来の気体力学による方程式

1. 一次元線形擾動

無次元化した連続の式、運動量の式、状態式は

$$\rho u A = 1, \quad \rho u \frac{du}{dx} = -\frac{1}{\gamma M^2} \frac{dp}{dx}, \quad \rho p^\gamma = 1 \quad (2-1)$$

のようになります。但し M は基準点の Mach 数を表す。一定断面積の管内の一様流からの擾動を考へ、 $A = 1 - \epsilon A'$, $u = 1 + \epsilon u'$, ... と (2-1) に代入し、擾動の高次項を略し、 u' を x の解として

$$(1 - M^2) u' = A'(x) \quad (2-2)$$

を得る。これはノズル流れの最も簡単な解と見られるが、 M^2 が 1 に近づくほど一様に成り立たない。

2. 一次元非線形擾動

線形擾動の解 (2-2) は M^2 が 1 に近づくときノズル断面積のわずかの変化が流れに大きな変動をもたらすшенを示唆する。

この事情を考慮して断面積の変化が $O(\epsilon)$ のとき流れの変動は $O(\epsilon^{1/2})$ であると考える。よって $A = 1 - \epsilon A'$, $u = 1 + \epsilon^{1/2} u'$, ... と (2-1) に代入し、最低次の項から成る式を書き下すと

$$\frac{(1 - M^2)}{\epsilon^{1/2}} u' - \frac{1}{2} (\gamma + 1) u'^2 = A'(x) \quad (2-3)$$

この解は臨界に近づくノズル流れの特徴をある程度捉えている。図形の特異点がこの近くの解曲線を発生し、流れの開発条件を満たす $(1 - M_c^2)^2 < 2(\gamma + 1)\epsilon$ が成立する。

3. 三次元線形擾動

臨界に近いノズル流れだけ流れの三次元的構造が顕著に現る。また磁場のかかる大アラズマ流のようすを分散性压缩性流体では本質的に三次元(または三次元)構造を持つもの。

$y = \pm \{1 - \epsilon f(x)\}$ で表わされる三次元ノズルに対する流れの変動を $u = 1 + \epsilon u'$, $v = \epsilon v'$, ... のようすにすれば、三次元に拡張した (2-1) の線形化式になら

$$(1 - M^2) \frac{\partial^2 u'}{\partial x^2} + \frac{\partial^2 u'}{\partial y^2} = 0 \quad (2-5)$$

とある。壁上の条件付 $y = \pm 1$ で $\frac{\partial u'}{\partial y} = \mp \frac{df}{dx}$ のようすに与えられる。ノズルが十分長くなると解は一般 Fourier 積分の形で表せられる。

$$u' = \frac{1}{2\pi} \int_{-M^{-1}}^{M^{-1}} \frac{K^2 \bar{f}(K) \cosh(\alpha K y)}{\alpha K \sinh(\alpha K)} e^{i K x} dK \quad (2-6)$$

但し $\alpha^2 = 1 - M^2$, $\bar{f}(K) = \int_{-\infty}^{\infty} f(x) e^{-i K x} dx$. M^2 が 1 に近くなると解は一様に成り立たない。

4. 三次元非線形擾動

線形理論は遷音速流れ壁のわずかな変化が流れに大きな変動を生む、流れと直角な方向に遠くまで及ぶことを示す。そこで流れと直角な方向に押され縮みた座標系 $\xi = x$, $\eta = \epsilon^{\frac{1}{2}} y$ を用い、流れの変動を $u = 1 + \epsilon^{\frac{3}{2}} u'$, $v = \epsilon v'$, ... のようすにすれば、このやうな遷音速の式が得られる。

$$\frac{1 - M^2}{\epsilon^{\frac{3}{2}}} \frac{\partial^2 u'}{\partial \xi^2} - \frac{1}{2} (\gamma + 1) \frac{\partial^2}{\partial \xi^2} u'^2 + \frac{\partial^2 u'}{\partial \eta^2} = 0 \quad (2-7)$$

壁の条件は $\psi = \pm \epsilon^{\frac{1}{3}} \tau$ で $\frac{\partial \psi}{\partial \eta} = \mp \frac{d\tau}{d\zeta^2}$ へ変換される。 (2-7) は木ドグラフ変換によって線形化され、簡単な混合型の式を与える。
 運者流れの多くの性質がその解から知られる。レガレ散逸や分散の効果を加えるとき、木ドグラフ変換は必ず有効ではない。一方 (2-7) の解を直接求めるには非常にまずカレーがノズル流れを表す Tomotika-Tamada (以下 T-T と略す) の相似解に注意した。²⁾ この相似解はノズルの形をあらわすジッヂの指定で可能だが、散逸や分散のある場合にもレガレ法有効であり臨界に近いノズル流れの三次元構造を知るのに役立つ。(2-7) は変換 $\frac{1}{2}(y+1)w' = w(z) + z\eta^2$, $z = \xi + \eta^2$ により二階の常微分方程式へ帰着できる。

$$\frac{1-M^2}{\epsilon^{\frac{2}{3}}} \frac{d\tilde{w}}{dz^2} - \frac{d^2}{dz^2} w^2 + z \frac{dw}{dz} + 4 = 0 \quad (2-8)$$

これは二度積分できて厳密解を与える

$$(\tilde{w} + \xi \times \tilde{w} - z\xi)^2 = C_2 \quad (2-9)$$

但し $\tilde{w} = w - (1-M^2)/2\epsilon^{\frac{2}{3}}$, $\xi = z + (1-M^2)/4\epsilon^{\frac{2}{3}} - C_1$, $\tilde{w}-\tilde{w}$ は解曲線 (図 1) と定性的に似ている。シナトラ等相似変換の軸対称流れには上と容易に拡張できる。³⁾

§3. 簡単で代表的な二つの例

1. 冷イオンと熱電子から成る多層荷電離気体

外部磁場がなく、電子は等温变化するとき、電子の質量は

無視する。無次元形電イオンと電子に対する連続の式と運動量の式は

$$n_i u_i A = n_e u_e A = 1, \quad (3-1)$$

$$M^2 u_i \frac{du}{dx} = E, \quad \sigma = -\frac{1}{n_e} \frac{dn_e}{dx} - E. \quad (3-2)$$

$$\text{ボルツマンの式} \quad \frac{\lambda_D^2}{L^2} \frac{dE}{dx} = n_i - n_e \quad (3-3)$$

と書ける。但し $M^2 = m_i u_i^2 / kT_e$, λ_D は Debye の長さである。

まず一次元線形振動をとれば、3-1. と同じ手続で

$$G_{1D} \frac{d^2 U_i}{dx^2} + (1 - M^2) U_i' = A(x) \quad (3-4)$$

を得る。但し $G_{1D} = M^2 \lambda_D^2 / L^2$ 。 (3-4) は $M^2 < 1$ のとき形式的一次元線形振動の式であり、その解は

$$U_i' = \frac{1}{G_{1D}^{\frac{1}{2}} x} \int_0^x A(\xi) \sin \left(\frac{\alpha}{G_{1D}^{\frac{1}{2}}} (x-\xi) \right) d\xi \quad (3-5)$$

である。但し $\alpha^2 = 1 - M^2$ 。今スロートに開いて行進方程式 $A = (1 + \kappa^2 x^2)^{-1}$ を考えると、スロートに開いて対称位置における速度の値は

$$U_i'(x) - U_i'(-x) = \frac{\pi}{\alpha^2 \kappa} e^{-\frac{\alpha}{\kappa} G_{1D}^{\frac{1}{2}}} \sin \left(\frac{\alpha}{G_{1D}^{\frac{1}{2}}} x \right) \quad (3-6)$$

となる。従つてスロートに開いて対称でない、振動する非行進方項は M^2 が小さくなければ指数関数的に小さくなるが、 M^2 が 1 に近づくほどと非常に大きくなる。しかし M^2 が 1 に近づくと解は複数になり並んでいく。

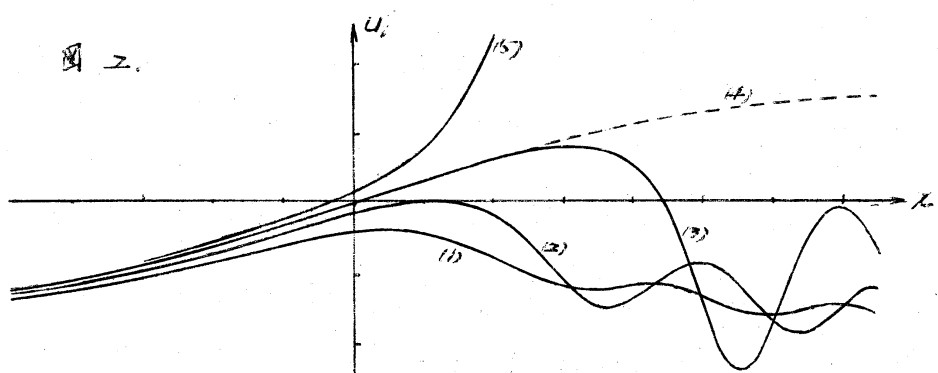
次に一次元非線形振動は 3-2. と同じ手續で

$$\frac{G_{1D}}{G_{1D}^{\frac{1}{2}}} \frac{d^2 U_i'}{dx^2} + \frac{1 - M^2}{G_{1D}^{\frac{1}{2}}} U_i' - U_i'^2 = A(x) \quad (3-7)$$

となる。但し $G_{1D} \gg (1 - M^2)$ の時は $O(G_{1D}^{\frac{1}{2}})$ となる。この式は

超音速流れで分散項が重要な役を演じることを示す。特に右辺を零とした式が存在 Korteweg-de Vries (以下 K-dV と略す) の式に守つてあることを留意したい。これはノズル断面積の変化によってノズル下流に K-dV 波の生じることを示唆する。実際に (3-7) が自動系ではないため解析的な議論は必ずしもオレーフィーの数値的に求めた解曲線は図 2 のようである。流量の増加につれて (1) → (5) のようになる。流量が臨界値に近づくときスロートの下流に分散波列が生じ、次第に振幅と波長を増して非線形波の特徴を現出す。流れの開発はちょうど無限下流に孤立波が生じる解にあたる。

図 2.



普通の圧縮性流体でスロートにおける流速が音速に達し、下流条件との接続がスロートの下流に衝撃波を伴う流れによって行われる場合、今の場合スロートの下流に K-dV 波を伴う流れに代る。レガレ流量はわずかにがらむ变化し、下流条件の一部が上流に伝えられることを示す。

三次元線形振動は 32-3 と同じ手続で

$$\epsilon_{10} \frac{\partial^2}{\partial z^2} \Delta U_i + (1-M^2) \frac{\partial^2 U_i}{\partial z^2} + \frac{\partial^2 U_i}{\partial y^2} = 0 \quad (3-8)$$

を満足する。但し Δ は二次元ラプラシアンである。壁上の条件は §2-3 と同じである。解は一般に

$$U_i = \frac{i}{2\pi} \int_{-M-i\delta}^{M-i\delta} \frac{K^2 f(K) \cosh(\lambda y)}{\lambda \sinh \lambda} e^{iKz} dK \quad (3-9)$$

のようになる。但し $\lambda^2 = K^2(\alpha^2 - \epsilon_{10} K^2)/(1 - \epsilon_{10} K^2)$ 。今 α を純分散性の流体では極の位置 (M^2 の如何に拘らず実軸上にあり) と留数の値が陽に見出され、解は振動する項と減衰する項から成る。 M^2 が 1 に近づくとき解は一様に成り立たない。

二次の非線形波動は §2-4 と同じ手続で

$$\frac{\epsilon_{10}}{G^3} \frac{\partial^4 U_i}{\partial z^4} + \frac{1-M^2}{G^3} \frac{\partial^2 U_i}{\partial z^2} - \frac{\partial^2}{\partial z^2} U_i^2 + \frac{\partial^2 U_i}{\partial \eta^2} = 0 \quad (3-10)$$

を満足する。 $(3-10)$ は下ドグラフ変換と Meyer の級数展開が適用できるが、T-T の相似変換は有効である。 $(3-10)$ は変換 $U_i = w(z) + z\eta^2$, $z = \xi + \eta^2$ によって四階の常微分方程式

$$\frac{\epsilon_{10}}{G^3} \frac{d^4 w}{dz^4} + \frac{1-M^2}{G^3} \frac{d^2 \tilde{w}}{dz^2} - \frac{d^2}{dz^2} w^2 + 2 \frac{dw}{dz} + 4 = 0 \quad (3-11)$$

に帰着できる。これに一度積分すれば

$$\frac{\epsilon_{10}}{G^3} \frac{d^3 \tilde{w}}{dz^3} - \frac{d}{dz} \tilde{w}^2 + z\tilde{w} + 4z = 0 \quad (3-12)$$

を満足する。但し $\tilde{w} = w - (1-M^2)/2G^{\frac{2}{3}}$, $z = Z + (1-M^2)/4G^{\frac{2}{3}} - C_1$ 。十分上流で分散のない流れが与えられる解は線図 §3 のようになる。この面での解はノズル軸上の流速を表すし、定性的に一次元非線形波動の解と同じであるが、これが物理面での流線や等速線を求める上、臨界に近づくノズル流の一次元構造を見出す

以上の、同様に逆音速
解を数値的に求めると、
ノズル流を表す才解の
得た結果が分る。
事情は一次元非線形振
動のときと同じである。

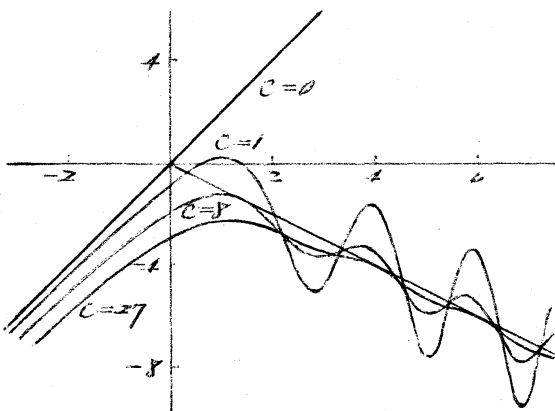


図 3

2. 緩和効果のある気体

現象は多くの点で例1と対照的である。散逸性压缩性流れ
より吹ふ方が適当であるが、解析は例1と同様に進むもの。

連続方程、運動量方程、エネルギー方程

$$\rho u A = \text{const}, \quad \rho u \frac{du}{dx} = - \frac{dp}{dx}, \quad \frac{dh}{dx} - \frac{f}{\rho} \frac{dp}{dx} = 0 \quad (3-13)$$

他に緩和速度の式 $u \frac{dc}{dx} = \frac{1}{c} \omega (\rho, p, c) \quad (3-14)$

が加えられる。ントロピックは ρ, p, c の関数と考へてよい。

緩和量 c は内部振動エネルギー、解難度等である。

一次元線形振動は 3-1. と同じ手続で

$$\Gamma (1 - M_f^2) \frac{du}{dx} + (1 - M_e^2) u' = \Gamma \frac{da}{dx} + A' \quad (3-15)$$

とする。⁴⁾ 但し $\Gamma = \frac{\omega_L}{\omega_c} / (1 - \frac{h_c \omega_p}{h_p \omega_c})$, $M_f^2 = u^2 (h_p - \frac{f}{\rho}) / (-h_p)$, $M_e^2 = u^2 (h_p - \frac{f}{\rho} + h_c \frac{\omega_p}{\omega_c}) / (-h_p + h_c \frac{\omega_p}{\omega_c})$ はそれぞれ無次元緩和距離、束縛及
平衡 Mach 数、自由子長の才 (各字は偏微分を表す)。⁴⁾ (3-15) は

形式的外力の下における多孔表面運動の式で、解は

$$u' = \begin{cases} \frac{1}{\alpha_f^2 - \alpha_e^2} \int_{-\infty}^x (\frac{dA'}{dx} + \frac{A'}{f}) e^{-\frac{\alpha_e^2(x-z)}{f}} dz & (\frac{\alpha_e^2}{\alpha_f^2} > 0) \\ -\frac{1}{\alpha_f^2 - \alpha_e^2} \int_x^\infty (\frac{dA'}{dx} + \frac{A'}{f}) e^{-\frac{\alpha_e^2(x-z)}{f}} dz & (\frac{\alpha_e^2}{\alpha_f^2} < 0) \end{cases} \quad (3-16)$$

のよろに表わされる。但し $\alpha_f^2 = 1 - M_f^2$, $\alpha_e^2 = 1 - M_e^2$. (3-16) は M_e^2 が 1 に近いとき一様に成り立たない。このとき無視して高次項で衝撃波層を衝撃波層に修正する。

一次元非線形運動方

$$\frac{f(u - M_f^2)}{e^2} \frac{du}{dx} + \frac{1 - M_e^2}{e^2} u - Ku^2 = A(x) \quad (3-17)$$

となる。但し $f(u - M_f^2)$, $(1 - M_e^2)$ は共に $O(e^2)$ と仮定される。K は基準点における h, ω の 3 階導関数を含む複雑な表式のパラメータであるが、1 に近い数と考えておけばよい。右辺を零とした式は定在 Burgers 波の式であり、スロート断面積の変化によって下流に衝撃波層の生じるシルを示す。實際に $A = \operatorname{sech}^2(kx)$ について数值的に求めた解曲線は図 4 のよろに有る。流量の増すにつれて (1) → (5) のよろに移行する。スロートに開いて反応管下流からスロートの下流に衝撃波層を伴う流れへの連続的に行移行し、スロートに閉じて反応管内閉塞流の存在が分かる。

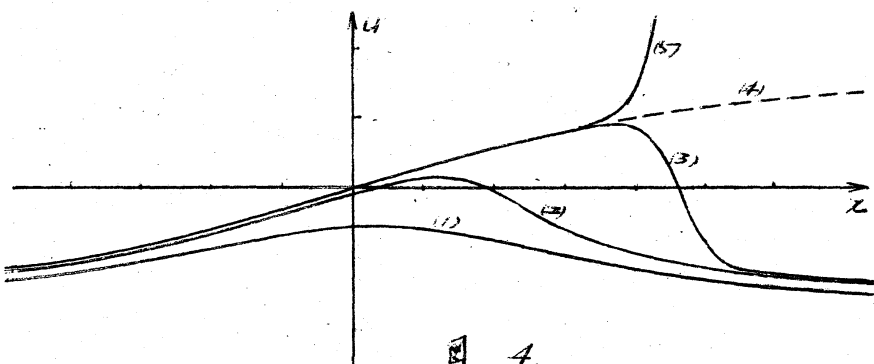


図 4.

二次元線形痕動よりの解の例は同じ半統一同じ形式に得られるが、この場合解を陽に表すことはせずアレ。

二次元非線形痕動は §2-4 と同じ半統一

$$\frac{\Gamma(1-M_p^2)}{E^{\frac{3}{2}}} \frac{\partial^3 U}{\partial Z^3} + \frac{1-M_e^2}{E^{\frac{3}{2}}} \frac{\partial^2 U}{\partial Z^2} - K \frac{\partial^2}{\partial Z^2} U + \frac{\partial^2 U}{\partial T^2} = 0 \quad (3-15)$$

とある。これに角の T-T の相似変換によって三階の常微分方程式へ帰着できる。結果 Sichel の離散性を考慮した気体に対する式と全く同じである。⁵²⁾

3.4 共他の例

1. 気泡-液体混合体

もう一つ複雑な分散性圧縮性流体の例を考えてよう。それは気泡-液体混合体の Wijngaarden のモデルである。⁵³⁾このモデルでは気泡が球形で、基準状態ではすべて同じ大きさを持ち、均質に分散していると仮定される。そして気相に関する流体力学の式は無限液体中の单一気泡の運動の方で置きかえられる。

$$(1-\beta)UA = G, \quad (1-\beta)U \frac{du}{dx} = - \frac{dp}{dx}, \quad (4-1)$$

$$\rho_g \beta V A = bG, \quad \rho_g R^3 = 1, \quad (4-2)$$

$$\rho_g - \rho = \delta \left\{ RV \frac{d}{dx} \left(V \frac{dR}{dx} \right) + \frac{3}{2} \left(V \frac{dR}{dx} \right)^2 \right\} + \frac{4}{R_e} \frac{V}{R} \frac{dR}{dx}. \quad (4-3)$$

$$V \frac{d}{dx} \left\{ \frac{1}{2} R^3 (V-U) \right\} = - R^3 \frac{dp}{dx} - \frac{2}{3R_e} R (V-U). \quad (4-4)$$

(4-1) 混合体の連続の式と運動量の式、(4-2) 気相の連続の

式は導圧変化の式、(4-3) & (4-4) は單一気泡の膨脹・収縮運動と相対運動の式である。(B: 下り率, R: 気泡半径, U: 混合体の流速, V: 気泡の流速, P: 混合体の圧力, P_b : 気泡の圧力, G: 流量, $b = \beta_0/(1-\beta_0)$, S: 気泡 $\pi/4V$ の断面積比, R_e : 1次元 Reynolds 数)

この場合分散項は下り複雑であるが、一次元流れの取扱い許されず。一次元線形運動

$$\left(\frac{d^2}{dx^2} + \frac{4}{\sigma} \frac{d}{dx} + \frac{3}{\sigma^2} (1-m^2) \right) \frac{du}{dx} + \frac{18}{\sigma} \frac{m^2}{n^2} \left(\frac{d^2}{dx^2} + \frac{4}{\sigma} \frac{d}{dx} + \frac{3}{\sigma^2} (1-n^2) \right) u' \\ = \frac{m^2}{bG^2} \left(\frac{d^2}{dx^2} + \frac{4}{\sigma} \frac{d}{dx} + \frac{3}{\sigma^2} \right) \left(\frac{dA'}{dx} + \frac{18}{\sigma} A' \right) \quad (4-5)$$

を導く。但し $\sigma = S^{1/2} R_e$, $\sigma = S^{1/2} U$, $U = (1+b)G$, $m^2 = U^2 / (bG^2 + U/G)$
 $+ 2$, $n^2 = U^2 / (bG^2 + U/G)$.

(2-5) 特殊方程式の判別式 D は σ , m^2 , n^2 に対する関数である。 $\sigma \rightarrow 0$ の時 $D < 0$ であるが、 $\sigma \rightarrow \infty$ の時 $m^2 \leq 1$ の時 $D \geq 0$ である。これらは、二つとも十分無限大時三つの基本解のうち一つが支配的となる。例えて次の 3 つの場合がある。

(1) $\sigma \rightarrow \infty$, $\sigma \neq 0$, $D > 0$

$$u' = \frac{1}{bG^2} \frac{m^2}{\mu} \int_{-\infty}^x \left(\frac{dA'}{d\zeta} + \frac{3}{\sigma^2} A' \right) \sin(\mu(x-\zeta)) d\zeta, \quad \mu^2 = \frac{3}{\sigma^2} (1-m^2) \quad (4-6)$$

(2) $\sigma \rightarrow \infty$, $\sigma \neq 0$, $D > 0$

$$u' = \frac{1}{bG^2} \frac{m^2}{1-m^2} \int_{-\infty}^x \left(\frac{dA'}{d\zeta} + \frac{18}{\sigma} A' \right) \exp\left(-\frac{18}{\sigma} \frac{m^2(1-n^2)}{n^2(1-m^2)} (x-\zeta)\right) d\zeta \quad (4-7)$$

(3) $\sigma \rightarrow 0$, $\sigma \sim 0$, $D < 0$

$$u' = \frac{1}{bG^2} n^2 \int_m^x \left(\frac{dA'}{d\zeta} + \frac{3\sigma}{4\sigma} A' \right) \exp\left(-\frac{3\sigma}{4\sigma} (1-n^2)(x-\zeta)\right) d\zeta \quad (4-8)$$

(1) 付 §3-1 の結果と、(2), (3) 付 §3-2 の結果と形式的に一致して
ある。

今 $\sigma = O(\epsilon^{\frac{1}{2}})$, $\tau = O(\epsilon^{\frac{1}{2}})$ の場合に $\tau \ll 1$ の一次元非線形振動を求める
と

$$\frac{\tau^2}{3\epsilon^2} \frac{d^3 u}{dx^3} + \frac{1-m^2}{\epsilon^2} \frac{du}{dx} - \bar{K} \frac{d}{dx} u^2 - Cu = \frac{i}{6q} \frac{da}{dx} \quad (4-7)$$

を得る。但し $\bar{K} = (1+O(\epsilon^2))G^2$, $C = 3\epsilon/\sigma \ll O^2$

$C \rightarrow 0$ ($R_e \rightarrow \infty$) の極限では一度積分でき、§3-1 と形式的に同じ
分散速度式を得る。⁷⁾ 一般に $C \neq 0$ のときの三階の非線
形方程式を有するが、散逸効果は最低階の項に現れ、左辺は
 $K-dT-Burgers$ 型となる。入口の下流に可視的衝撃
波がありセラーランの流れが予想される。

2 CGL プラズマ

強磁場中のプラズマに関する Chew-Goldberger-Low の流体
モデルにイオンの有限な旋回半径の効果を含めて修正したモ
デルを考えよう。⁸⁾ この場合現象は本質的に三次元的で、一次元
流を仮定するにはできない。さらに今までの例と異なり、
波数の大きい波が波数の小さな波より速く進むこと、分散
関係を保つこと。

磁場 \hat{x} 方向の成分だけを持ち、流れが $x-y$ 面内である二
次元流れを考える。必要な式はプラズマに対する連続の式、
運動量の式(3成分)、エネルギー式と Maxwell の式の二つである。

$$\begin{aligned} \frac{\partial}{\partial z} (\rho u) + \frac{\partial}{\partial y} (\rho v) &= 0, \quad \rho u \frac{\partial u}{\partial z} + \rho v \frac{\partial u}{\partial y} + \frac{\partial}{\partial z} (P_1 + \frac{B^2}{2\rho}) = \frac{R_i}{2Q_i} \Delta U \\ \rho u \frac{\partial v}{\partial z} + \rho v \frac{\partial v}{\partial y} + \frac{\partial}{\partial y} (P_1 + \frac{B^2}{2\rho}) &= -\frac{R_i}{2Q_i} \Delta U \quad (4-10) \\ u \frac{\partial P_1}{\partial z} + v \frac{\partial P_1}{\partial y} + 2P_1 (\frac{\partial u}{\partial z} + \frac{\partial v}{\partial y}) &= 0, \quad \frac{\partial}{\partial z} (B u) + \frac{\partial}{\partial y} (B v) = 0 \end{aligned}$$

添字_iはイオンに関する量を、上は磁場に直角な成分を表す。 R_i はイオンの旋回周波数である。

二次元非線形振動は 3-2-4 と同じ手続で

$$-\frac{1}{R_0 G^{\frac{2}{3}}} \frac{d^4 U}{dz^4} + \frac{1-M^2}{G^{\frac{2}{3}}} \frac{d^2 U}{dz^2} - \left(\frac{3}{2} + \frac{1}{A^2} \right) \frac{d^2}{dz^2} U^2 + \frac{d^2 U}{dz^2} = 0 \quad (4-11)$$

とある。但し $R_0 = 2\rho u L D / I P_i$, $M^2 = \rho u^2 / (2P_1 + \frac{B^2}{\rho})$, $A^2 = \rho u^2 / \frac{B^2}{\mu}$ 。

壁の条件は $U = \pm e^{\frac{1}{2}} \Gamma$, $\frac{dU}{dz} = \mp \frac{d^2 U}{dz^2} = \mp \frac{d^3 U}{dz^3}$ である。

(4-11) の分散項の符号を除き (3-10) と形式的に同じである。

T-T の相似変換により分散項の符号が置かれて有効である。(4-11) は常微分方程式で帰着される。実際に (4-11) の変換 $(\frac{3}{2} + \frac{1}{A^2}) U = W(z) + z \Gamma^2$, $Z = z + \Gamma^2$ と一回の積分によつて

$$-\frac{1}{R_0 G^{\frac{2}{3}}} \frac{d^4 W}{dz^4} - \frac{d}{dz} \tilde{W}^2 + 2\tilde{W} + 4\Gamma = 0 \quad (4-12)$$

に帰着する。但し $\tilde{W} = W - (1-M^2)/2G^{\frac{2}{3}}$, $\Gamma = Z + (1-M^2)/4G^{\frac{2}{3}} - C_1$ 。

(4-12) で \tilde{W} 上の符号と同時に反転すれば (3-12) を得る。このときの場合の超音速解と亜音速解と流れの方向を逆に見て見れば、それが今の場合の亜音速解と超音速解に至る二つの意味である。レガレ 33-1 で超音速ノズル流れの解と数値的比較をするがもとガレーシュを知った。されば今の場合の亜音速ノズル流れを知らシムはアガレーハ。レガレ 線形振動の結果や

数値計算で大きな誤差の生じる理由が見えて、臨界の近くで単調に変る／ダル流への解がかつてもよしと思われる。

3. Hall効果のある磁気流体

Aligned 流の参考元。この場合に一次元流の取扱は許されない。さらに λ の分散性遷音速の式は T-T 型の相似解を持たない。特殊な事情がある。

Hall効果を含む磁気流体の流れと磁気 Reynolds 数 Rm と Hall パラメータ S と共に無限大に近づける極限で得られる分散性圧縮性流体は最初 Reiter によって議論された¹⁾。 λ の線形運動の式は

$$\Delta \left((1-M^2) \frac{\partial^2 U}{\partial x^2} + \frac{\partial^2 V}{\partial y^2} \right) + \frac{R_m^2}{D^2} \frac{(1-A^2)^2}{A^4} \left\{ (1-M^2) \frac{\partial^2 U}{\partial x^2} + \frac{(1-M^2 A^2)}{1-A^2} \frac{\partial^2 V}{\partial y^2} \right\} = 0 \quad (4-13)$$

である。 M, A は Mach 数 Alfvén 数である。壁上の条件は $y=\pm 1$ で $V = \mp \frac{df}{dx}$, $(1-M^2) \frac{\partial U}{\partial x} + \frac{\partial V}{\partial y} = 0$ ($j=0$) である。 U と V を求まると $U = -\frac{1}{1-M^2} \int \frac{\partial V}{\partial y} dx$ が得られる。

今次にレーベンの一次元非線形運動を求める上

$$\begin{aligned} \frac{\partial^2}{\partial z^2} & \left(\frac{1-M^2}{G^2} \frac{\partial^2 U}{\partial z^2} - \frac{\partial^2}{\partial z^2} U^2 + \frac{\partial^2 U}{\partial \eta^2} \right) \\ & + \frac{R_m^2}{D^2} \frac{(1-A^2)^2}{A^4} \left\{ \frac{1-M^2}{G^2} \frac{\partial^2 U}{\partial z^2} - \frac{\partial^2}{\partial z^2} U^2 - \frac{A^2}{1-A^2} \frac{\partial^2 V}{\partial \eta^2} \right\} = 0 \quad (4-14) \end{aligned}$$

を得る。この分散性遷音速の式は T-T の相似変換によらず微分方程式の方程式である。 M^2 が 1 に近づくと高階の分散項も同時に現れる。一方で Taylor 型の方と Meyer 型への流れの遷移は T-T

達べられて複雑な過程となると思われる。 A^2 が1に近い時
才すラ有相似解才す。

$R_m \sim A^2 \rightarrow 0$ の極限で得られる分散性分離性遷音速の式は
事前に似てゐる。

§5 終りがき

これまでの分散性圧縮性流体の例を通して、普通の気体力学で知られる二つの境界に近いノズル流れの取扱い方法のよ
うに取扱つたが、その結果がどうするかを調べた。流れの特徴
は線形振動の相似解、一次元非線形振動の数値解、二次元非
線形振動の相似解によって知られるがである。普通の圧縮性
流体で衝撃波と伴う流れの断面寸分散張列(また衝撃波層)
と伴う流れに便り、レオレ詳細寸流体の持つ分散特性によ
つてかなり多様である。

一方、流れの開塞寸断面積の変るノズル大さくに生じる問題
である、断面積が一定のダクトで局所的冷却熱や冷却が
あつたり、例えば MHD 磁場 \times フラックス加速で見らるるよう
に局所的干渉力 \times 加速力が互いに反応するときに生じる。
才すラの場合分散性がどうするか結果を及ぼす才を調べる
ニシキ面白くであります。

参 考 文 献

- 1) H.W. Liepmann and A. Roshko: Elements of Gasdynamics (John Wiley, New York, 1957) Chap. 5, p. 127.
- 2) S. Tomotika and K. Tamada: Quart. appl. Math. 7 (1950) 381.
- 3) S. Tomotika and Z. Hasimoto: J. Math. Phys. 29 (1950) 105.
- 4) W.G. Vincenti and C.H. Kruger: Physical Gasdynamics (John Wiley, New York, 1965) Chap. 8, p. 293.
- 5) M. Sichel: J. Fluid Mech. 25 (1966) 769.
- 6) L. van Wijngaarden: Ann. Rev. Fluid Mech. 4 (1972) 369.
- 7) S. Morioka and G. Matsui: J. Phys. Soc. Japan 42 (1977) 2014.
- 8) S. Morioka and J.R. Spreiter: J. Plasma Phys. 4 (1970) 403.
- 9) E.L. Resler: Developments in Mechanics (Plenum Press, New York, 1961) Vol. 1, p. 503.